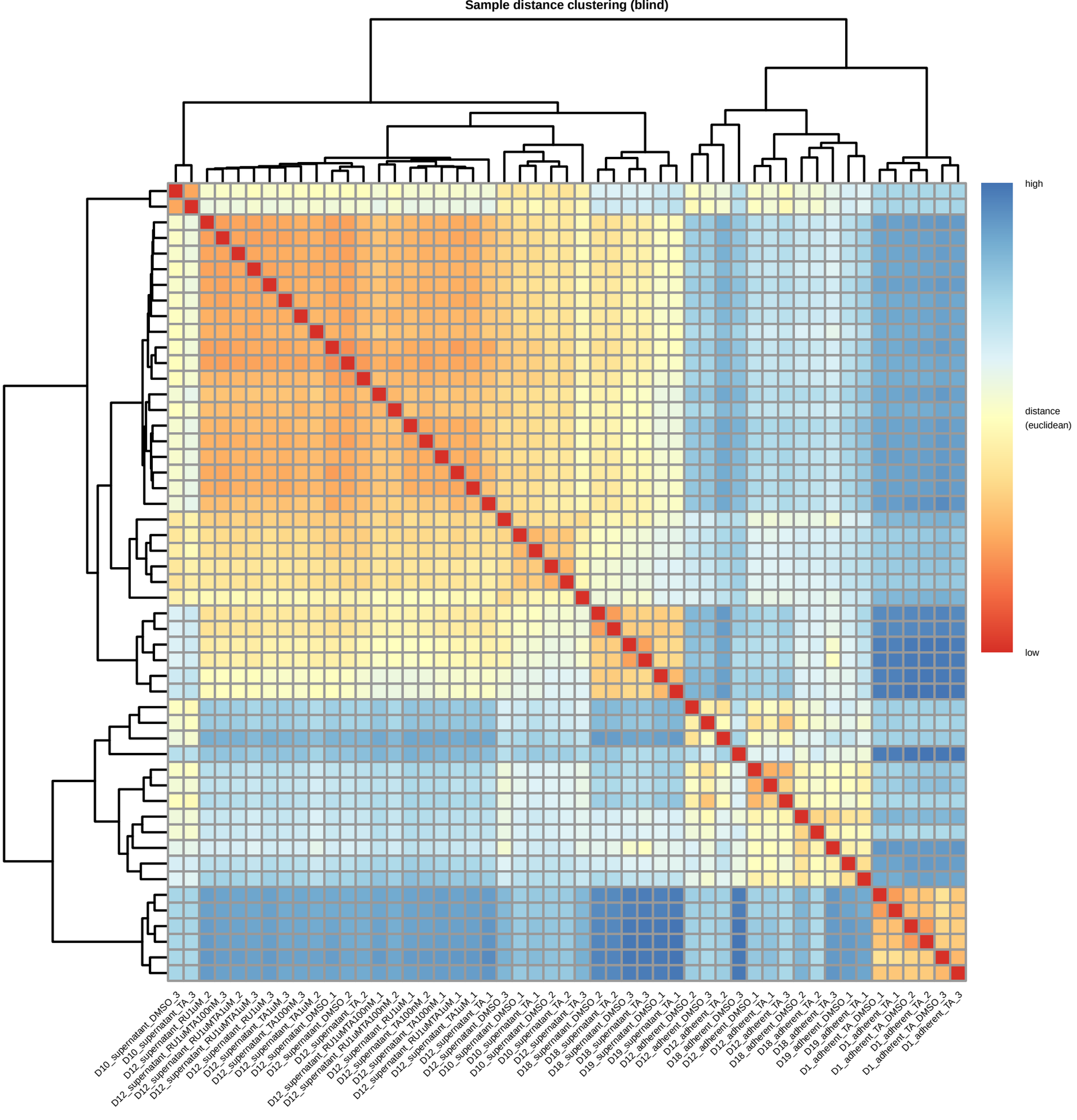
Sample distance clustering (blind)
high
distance
(euclidean)
low
D10_supernatant_DMSO_3
D10_supernatant_TA_3
D12_supernatant_RU1uM_2
D12_supernatant_RU1uMTA100nM_3
D12_supernatant_RU1uMTA1uM_2
D12_supernatant_RU1uMTA1uM_3
D12_supernatant_RU1uM_3
D12_supernatant_TA100nM_3
D12_supernatant_TA1uM_2
D12_supernatant_DMSO_1
D12_supernatant_TA_2
D12_supernatant_RU1uMTA100nM_1
D12_supernatant_RU1uMTA100nM_2
D12_supernatant_RU1uM_1
D12_supernatant_TA100nM_2
D12_supernatant_TA100nM_1
D12_supernatant_RU1uMTA1uM_1
D12_supernatant_TA1uM_1
D12_supernatant_TA_1
D12_supernatant_DMSO_3
D10_supernatant_DMSO_1
D10_supernatant_TA_1
D10_supernatant_DMSO_2
D10_supernatant_TA_2
D18_supernatant_TA_3
D18_supernatant_DMSO_2
D18_supernatant_TA_2
D18_supernatant_DMSO_3
D18_supernatant_TA_3
D19_supernatant_DMSO_1
D19_supernatant_TA_1
D12_adherent_DMSO_2
D12_adherent_DMSO_3
D12_adherent_TA_2
D18_adherent_DMSO_3
D12_adherent_DMSO_1
D12_adherent_TA_1
D12_adherent_TA_3
D18_adherent_DMSO_2
D18_adherent_TA_2
D18_adherent_TA_3
D19_adherent_DMSO_1
D19_adherent_TA_1
D1_adherent_TA_DMSO_1
D1_adherent_TA_1
D1_adherent_TA_DMSO_2
D1_adherent_TA_2
D1_adherent_TA_DMSO_3
D1_adherent_TA_3